

محاسبه نظری ساختار الکترونی و چگالی حالتها در بلور تیتانات باریم

حمدا... صالحی، سید محمد حسینی و ناصر شاه طهماسبی

گروه فیزیک، دانشگاه فردوسی مشهد، مشهد

(دریافت مقاله: ۸۱/۳/۲ ؛ دریافت نسخه نهایی: ۸۱/۵/۵)

چکیده

ساختار الکترونی و چگالی حالتها جزئی و کل در تیتانات باریم مکعبی مورد مطالعه قرار گرفته است. محاسبات با استفاده از روش پتانسیل کامل امواج تخت تقویت شده (FP-LAPW) در چارچوب نظریه تابعی چگالی (DFT) هوهبرگ، کوهن وشم با تقریب شیب تعییم یافته (GGA) انجام گرفته است. نتایج حاصل سازگاری خوبی با نتایج تجربی و تئوری بدست آمده از روش‌های دیگر دارد.

واژه‌های کلیدی: ساختار الکترونی، تیتانات باریم، FP-LAPW، نظریه تابعی چگالی، پارالکتریک

تیتانات معرفی می‌شود و از نظر شیمیایی با درصد خلوص $99/9\%$ ، $99/7\%$ و $99/9\%$ قابل دسترسی است.

تیتانات باریم (BaTiO_3) دارای سه گذار فازی به صورت زیر است

(الف) از مکعبی به تتراتیتانات در دمای 393K

(ب) از تتراتیتانات به اورتوفرمیک در دمای 278K .

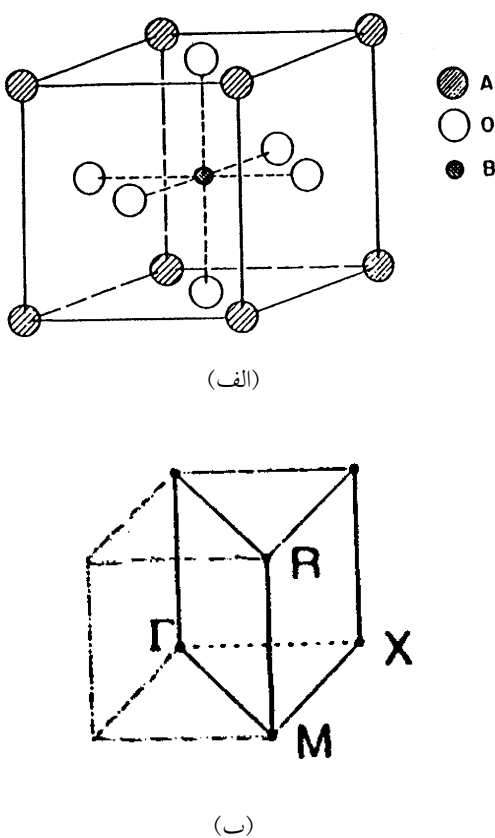
(ج) از اورتوفرمیک به رومبوهرال در دمای 183K [۳ و ۴].

تیتانات باریم نخستین سرامیک پیشرفته پیزوالکتریک است که هنوز هم کاربرد فراوان دارد و از نظر شیمیایی پایدار است. حوزه عملکرد دمایی وسیعی دارد و مزیت آشکار آن سادگی تکنیکهای ساخت است. این ماده به دلیل داشتن ثابت دی الکتریک بزرگ اهمیت فراوانی دارد. مشکل اصلی استفاده از آن به عنوان ماده دی الکتریک، تغییرات ناگهانی ثابت دی الکتریک ماده با دماس است. به هر حال به دلیل ثابت

ABO₃ فرو الکتریکها و مواد وابسته به آن با فرمول شیمیایی ABO_3 از موضوعاتی هستند که به صورت گسترهای مورد مطالعه قرار گرفته‌اند. ساختار ایده‌آل آن به صورت پروسکیت مکعبی است که در آن A و B کاتیونهایی هستند که روی یک شبکه مکعبی مرتب شده‌اند و یونهای O در نزدیکترین مرکز وجوده به کاتیون قرار دارند که B نوعاً فلز واسطه است (شکل ۱) [۱ و ۲].

کاتیون A، باریم (Ba^{+2}) با عدد کوردنیاسیون ۱۲ است. این یونها یک زیر ساختار مکعبی تشکل می‌دهند و در گوش‌های شبکه مکعبی قرار گرفته‌اند. کاتیون B، تیتانات (Ti^{+4}) با عدد کوردنیاسیون ۸ در مرکز مکعب است و آنیونهای O^{-2} در مرکز وجوده مکعب قرار می‌گیرد [۱ و ۲].

پیوند بین Ba^{+2} و TiO_4 عمده‌ای یونی است و TiO_4 ذاتاً کووالانسی است و به صورت باریم تیتانات یا اکسید باریم



شکل ۱. (الف) سلول واحد، (ب) منطقه بریلوئن باریم تیتانات با ساختار مکعبی پروسکیت.

محاسبات فوق در محدوده نظریه تابعی چگالی (DFT) با تقریب شیب تعمیم یافته (GGA) برای حل معادلات کوهن-شم (Kohn-Sham) انجام شده است [۱۰، ۱۱ و ۱۲]. در روش فوق فضا به دو ناحیه تقسیم می‌شود:

(الف) ناحیه کروی (ما芬ین - تین) اطراف هسته که از جوابهای شعاعی معادله شرودینگر و مشتقهای انرژی آنها برای ساختن توابع پایه استفاده می‌شود.

(ب) ناحیه بین جایگاهی که امواج تخت به عنوان پایه انتخاب می‌شوند.

در این روش برای جدا کردن حالت‌های والنس از حالت‌های مغره مبنای را انرژی قرار دادیم که برابر با -6 ریدبرگ مرز جدایی بین الکترون‌های حالت مغره از حالت والنس می‌باشد. حالت‌های مغره دارای رفتار کاملاً نسبیتی و حالت‌های والنس و شبه مغره دارای رفتار شبه نسبیتی (یعنی از جفت شدگی اسپین - مدار صرف نظر می‌کنیم) هستند.

دی‌الکتریک بالا و خواص پیزوالکتریکی و فروالکتریکی آن استفاده فراوانی در صنایع الکترونیکی دارد. از جمله در سونار زیر آبی، موشکهای هدایت شونده، مینهای صوتی و خازنهای سرامیکی و سایر دستگاههای الکترونیکی استفاده فراوان دارد [۶، ۵ و ۷].

نوع سرامیک و تک بلور آن نیز وجود دارد که نوع سرامیک آن دارای ضریب حرارتی مثبت (PTC) است و در دمای معینی به نام دمای کوری ثابت دی‌الکتریک آن به حداقل می‌رسد. اثر PTC به علت وجود دانه‌هاست و فقط در نوع سرامیکی آن مشاهده می‌شود و از نظر نوری کادر است، در حالی که تک بلور آن شفاف است. خواص پیزوالکتریک بسیار قوی دارد و تا قبل از کشف سرامیک اکسید سرب، زیرکونات و تیتانیم (PZT) این ماده در حوزه مواد پیزوالکتریک حاکم بود. تیتانات باریم در حالت سرامیکی عایق است اما با قطبی کردن آن دارای خاصیت پیزوالکتریک می‌شود [۸، ۵]. مطالعات فراوانی در این زمینه انجام گرفته است که غالباً به صورت تجربی بوده است [۹]. در این مطالعه ساختار الکترونی، چگالی حالت‌های کلی و جزئی الکترونی بلور BaTiO₃ با ساختار پروسکیت مکعبی در فاز پارالکتریک محاسبه می‌شود. محاسبات با روش پتانسیل کامل امواج تخت تقویت شده (FP-LAPW) در چارچوب نظریه تابعی چگالی (DFT) با تقریب شیب تعمیم یافته (GGA) صورت گرفته است [۱۰، ۱۱ و ۱۲].

۲. روش محاسبات

ساختار بلوری BaTiO₃ در فازهای پارا و فروالکتریک به طور تجربی با استفاده از روش‌های مختلفی مطالعه شده است [۱۳، ۱۴، ۱۵ و ۱۶]. فاز پارا الکتریک مکعبی است و متعلق به گروه فضایی m(۳) است (شکل ۱). سلول واحد به شکل مکعبی شامل یک ملکول با قرار گرفتن اتم Ba در مکان a (۰/۰/۰)، اتم Ti در مرکز a (۰/۰/۰) و سه اتم اکسیژن (۰/۰/۰) در سه مرکز وجوه با مختصات a (۰/۰/۰) و a (۰/۰/۰) و a (۰/۰/۰) است. ثابت شبکه $a = ۰/۰/۵۲۹\text{A}^{\circ}$ است [۴، ۹].

محاسبات ساختار الکترونی با استفاده از پتانسیل کامل روش امواج تخت تقویت شده (FP-LAPW) انجام شده است.

روش دیگر لزومی ندارد که E_i ویژه مقادیر انرژی کوهن - شم باشد، بلکه مقدار ثابتی است که اگر مناسب انتخاب شود به نتایج دقیقی منجر خواهد شد و حجم محاسبات کم می‌شود. بهر حال انتخاب مناسب E_i در این روش بسیار مهم است.

تابع موج به صورت زیر نوشته می‌شود

$$\Psi_k = \sum_{K_n} C_{k_n} \phi_{k_n}. \quad (3)$$

آخرین مرحله محاسبه انرژی الکترون و وردش آن جهت پیدا کردن ضرایب C_{k_n} می‌باشد. این انرژی عبارت است از

$$\langle E \rangle = \frac{\langle \psi | H | \psi \rangle}{\langle \psi | \psi \rangle}, \quad (4)$$

که در اینجا پتانسیل کامل را قرار می‌دهیم و سپس اصل وردشی

$$\frac{\delta \langle E \rangle}{\delta C_{k_n}} = \text{اعمال می‌شود و لذا عناصر ماتریس هامیلتونی}.$$

به صورت زیر خواهد بود

$$H_{nm} = \left\langle \psi_n^* | H_{MT} | \psi_m \right\rangle_{II} + \left\langle \psi_n^* | H_{ns} | \psi_m \right\rangle_{II} + \left\langle \psi_n^* | H | \psi_m \right\rangle_I. \quad (5)$$

در معادله (5) جملات طرف دوم از سمت چپ به راست به ترتیب سهم کروی، غیرکروی و بین جایگاهی را مشخص می‌کنند. اگر در بسط پتانسیل معادله (1) فقط جملات $I=m=0$ را نگه داریم و از دیگر جملات صرف نظر کنیم، همان روش معمولی (LAPW) با پتانسیل مافین- تین خواهد بود [۳].

محاسبات این مقاله با استفاده از نرم افزار WIEN2k [۱۷] انجام شده است و پارامترها $G_{max}=14$ ، $Rk_{max}=7$ ، $R_{MT}(Ti)=1/9$ a.u و $R_{MT}(O)=1/8$ a.u را برداری از $R_{MT}(Ba)=2/2$ a.u انتخاب شده‌اند.

۳. نتایج

الف) ساختار الکترونی. ساختار نواری $BaTiO_3$ در فاز پارا الکتریک به صورت تجربی با روش‌های مختلفی مطالعه شده است [۳، ۴، ۹]. در این روش نظری تعداد نقاط k مورد استفاده در ناحیه اول بریلوئن برابر 400 است و پارامتر همگرایی، Rk_{max} ، برابر 7 انتخاب شده است و همگرایی را بر مبنای انرژی قرارداده‌ایم. ساختار نوار الکترونی محاسبه شده در فاز مکعبی برای $BaTiO_3$ در شکل ۲ نشان داده شده است.

روش فوق در واقع تعمیم روش (LAPW) به حالت کلی تری است که در آن پتانسیل وارد بر الکترون را در کلی ترین حالت (بدون آنکه شکل خاصی برای آن فرض کنیم) در نظر می‌گیریم. با توجه به اینکه پتانسیل نیز همچون تابع موج در حوالی هسته تغییرات زیادی دارد و در فواصل دور از هسته‌ها نسبتاً هموار است لذا آن را درون و بیرون کره مافین- تین به صورت زیر بسط می‌دهیم.

$$V(r) = \begin{cases} \sum_{k_n=0}^{k_n=\max} V(\bar{k}_n) e^{i\bar{k}_n \cdot \vec{r}} & (I) \\ \sum_{lm} V_{lm}(\vec{r}) Y_{lm}(\vec{r}) & (II) \end{cases} \quad (1)$$

که در آن (I) ناحیه بین جایگاهی و (II) ناحیه درون کره‌ها می‌باشد.

به این ترتیب پتانسیل در ناحیه بین جایگاهی بسط فوریه داده می‌شود و در درون کره‌های مافین- تین برحسب هارمونیکهای بلوری (Lattice Harmonic) بسط داده شده‌اند. برای ساختن هارمونیکهای بلوری، Y_{lm} ، هارمونیکهای کروی و تقارن نقطه‌ای بلور با یکدیگر تلفیق شده‌اند. بکار بردن هارمونیکهای بلوری، به جای استفاده از هارمونیکهای کروی، باعث می‌شود که به فضای کمتری جهت ذخیره سازی داده‌ها نیاز داشته باشیم و سرعت محاسبات بیشتر خواهد شد.

توابع پایه برای ناحیه بین جایگاهی (I) و برای درون کره‌ها (II) به صورت زیر می‌باشند

$$\varphi(k_n, r) = \begin{cases} \frac{1}{\sqrt{\Omega}} e^{i\bar{k}_n \cdot \vec{r}} & (I) \\ \sum_{l=-l}^{\infty} \sum_{m=-l}^{+l} [A_{lm}(\bar{k}_n) u_l(r, E_l) + B_{lm}(\bar{k}_n) u_l^0(r, E_l)] Y_{lm}(r) & (II) \end{cases} \quad (2)$$

که در آن $u_l(r, E_l)$ جواب منظم در مبدأ معادله شرودینگر شعاعی به ازاء انرژی ثابت E_l در داخل کره مافین- تین است و Ω می‌باشد. در روابط (۲)، $u_l^0(r, E_l) = \frac{\partial u_l(r, E_l)}{\partial E} \Big|_{E=E_l}$ حجم سلول و k_n برداری است مربوط به کل فضای وارون و محدود به ناحیه اول بریلوئن نمی‌شود.

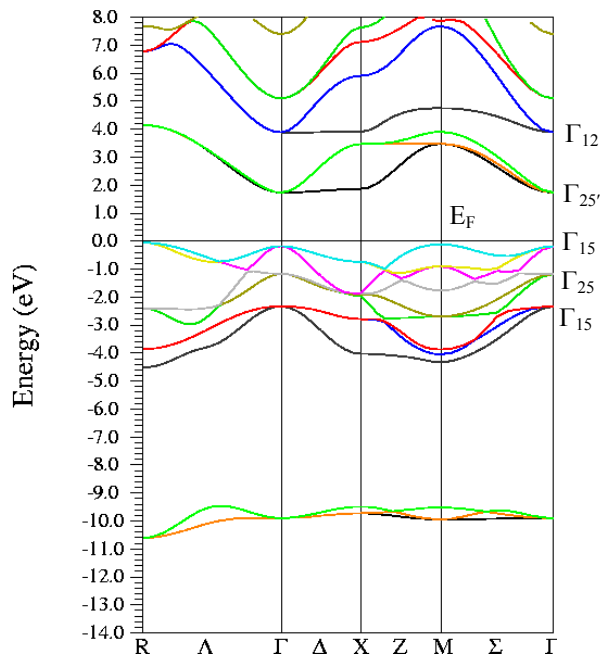
اگر بخواهیم بردار k را محدود به ناحیه اول بریلوئن انتخاب کنیم آنگاه می‌نویسیم $k_n=k+g_n$ که در آن بردار شبکه وارون و k برداری در ناحیه اول بریلوئن است. در این

استفاده از روش (TB-LMTO) گاف نواری $1/2 \text{ eV}$ در نقطه Γ را به دست آورده‌اند. نوارهای والانس محاسبه شده زیر انرژی فرمی سازگاری خوبی با دیگر مطالعات مبتنی بر اصول اولیه دارد [۴، ۱۲]. ساختار الکترونی شکل ۲ با استفاده از ثابت شبکه، $7/57\text{a.u}$ ، محاسبه شده است. در نمودار چگالی حالتها، مقیاس انرژی صفر نشان دهنده مکان تراز فرمی است. مشارکت $3d$ تیتان در ماکریم نوار والانس صفر است، اما نسبت به انرژی چگالی حالت‌های الکترونی و توزیع بار پیوندی سریعاً افزایش پیدا می‌کند. بر عکس مشارکت $2P$ اکسیژن از صفر در مینیمم نوار رسانش نسبت به افزایش انرژی (مشارکت آن در نوار والانس است) افزایش پیدا می‌کند، که این انعکاسی از کووالانسی بین $3d$ تیتان و $2P$ اکسیژن است.

ب- چگالی حالت‌های الکترونی و توزیع بار. توزیع الکترون در طیف انرژی به وسیله چگالی حالتها (DOS) توصیف می‌شود و (photo emission) می‌تواند در آزمایش‌های جذب نور (photo emission) اندازه‌گیری شود. طیف (DOS) چگالی حالت‌های کل از BaTiO_3 در شکل ۳، نشان داده شده است. لبه‌های نوار رسانش والانس در نزدیک انرژی فرمی نسبتاً تیز هستند.

چگالی حالت‌های جزئی (PDOS) از اتمهای Ba ، Ti و O در شکل ۴ نشان داده شده است که در آن قله‌های انرژی پایین در حدود $15/5 \text{ eV}$ -تا 17 eV است که سهم عمدۀ مربوط به حالت $2S$ اکسیژن با بخش کوچکی از اریتالهای P اکسیژن و P تیتان است. یک چگالی حدود 10 eV -عمدتاً نمایش سهم P اکسیژن $5P$ باریم است که بطور ضعیفی با حالت‌های S و O اکسیژن هیبرید شده‌اند. حالت‌های والانس از $4/7 \text{ eV}$ -تا بالاتر از انرژی فرمی تحت تاثیر حالت‌های $2P$ اکسیژن قرار می‌گیرند و تقریباً با حالت‌های $3d$ ، Ti هیبرید می‌شوند. سهم عمدۀ اطراف لبه نوار رسانش از حالت‌های $3d$ ، Ti با یک سهم کوچکی از اریتالهای اکسیژن است.

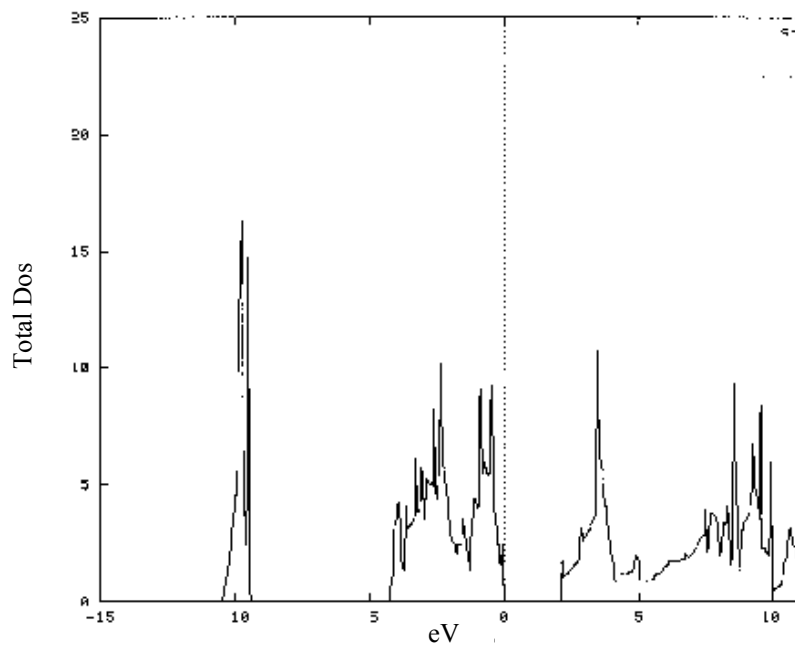
هیبریداسیون مهمی بین حالت‌های $3d$ تیتانیم و $2p$ اکسیژن وجود دارد. این بدان معنا است که پیوندها در این سیستم نمی‌توانند کاملاً یونی باشد و شامل سهم کووالانسی بزرگی است. که این موضوع در شکلهای حاصل به خوبی واضح است. چگالی الکترونی در دو صفحه مختلف در شکلهای ۵ و ۶ نشان داده شده است. شکل ۵ چگالی ابر الکترونی را برای فاز مکعبی در صفحه (۱۰۰) نشان می‌دهد. شکل ۶ چگالی بار الکترونی را



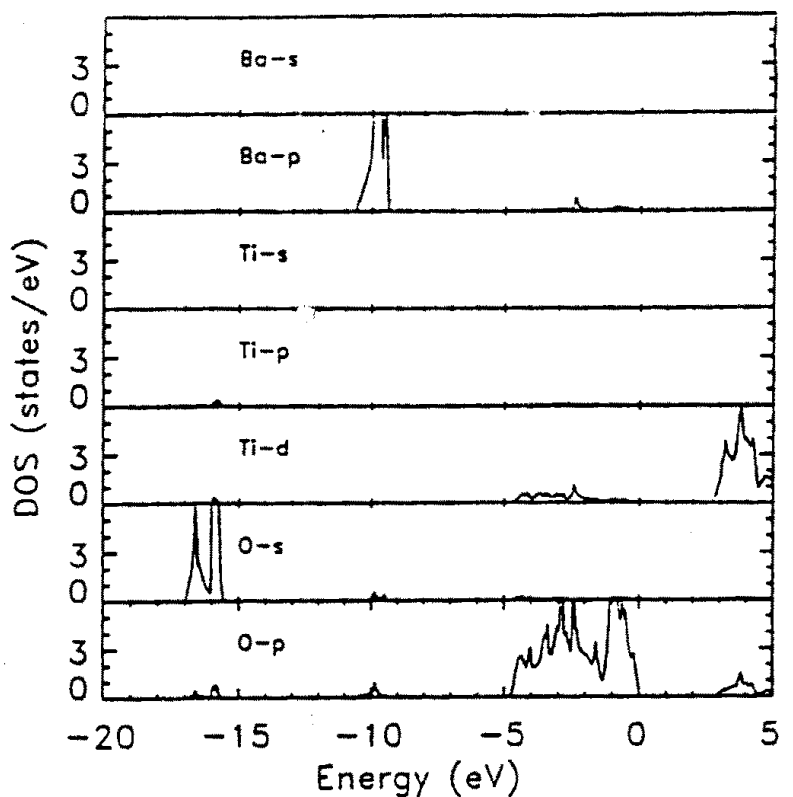
شکل ۲. ساختار نوار انرژی محاسبه شده برای BaTiO_3 مکعبی، انرژی صفر به عنوان قله نوار والانس انتخاب شده است.

مقیاس انرژی بر حسب الکترون-ولت است و مبداء انرژی به طور دلخواه به عنوان ماکریم نوار والانس انتخاب شده است. در شکل ۲ پاشندگی بزرگی از نوارهای را مشاهده می‌کنیم. نه عدد نوار والانس از اریتالهای $2P$ اکسیژن به دست می‌آید که اینها با یک گاف مستقیم $1/8 \text{ eV}$ (در نقطه Γ) از نوار رسانش d فلز واسطه (Ti) جدا می‌شوند. این گاف کوچکتر از گاف نوار تجربی 3 eV برای BaTiO_3 است [۱۹]. علت این تفاوت ممکن است به خاطر تقریب شبیه تعمیم یافته (GGA) باشد. نه عدد نوار والانس در نقطه Γ دارای ترازهای با تبعگنی سه تایی است (Γ_{15} ، Γ_{25} و Γ_{15}) که با انرژیهای $1/2 \text{ eV}$ ($\Gamma_{15}-\Gamma_{25}$) و $1/10 \text{ eV}$ ($\Gamma_{25}-\Gamma_{15}$) جدا می‌شوند. این شکاف‌گیها به وسیله میدان بلوری و بر همکنش الکترواستاتیکی بین اریتالهای $2P$ اکسیژن ایجاد می‌شود. در نوار رسانش ترازهای تبعگنی سه گانه (Γ_{25} و دوگانه (Γ_{12}) نشان داده شده است. با حالت‌های t_{2g} و e_g از اریتالهای $3d$ و Ti که با انرژی $2/2 \text{ eV}$ از هم‌دیگر جدا شده‌اند. یک مقایسه صوری بین این نتایج و مرجع [۲۰] برای BaTiO_3 نشان می‌دهد که گاف نواری به دست آمده با استفاده از روش شبیه پتانسیل برابر گاف به دست آمده با روش (FP-LAPW) در نقطه Γ است.

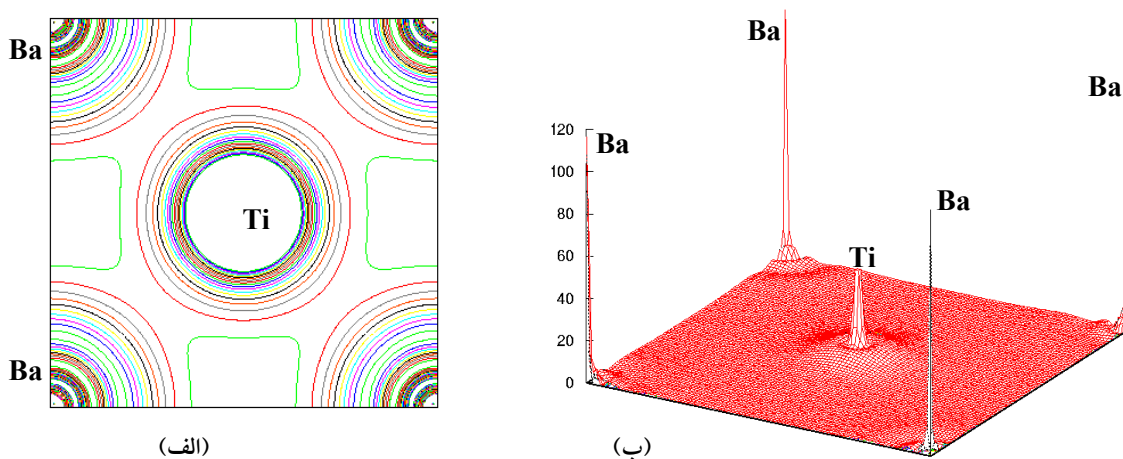
همچنین مقایسه بین این نتایج و مرجع [۱۹] نشان می‌دهد که هیچ اختلاف قابل تشخیصی وجود ندارد جز اینکه آنها با



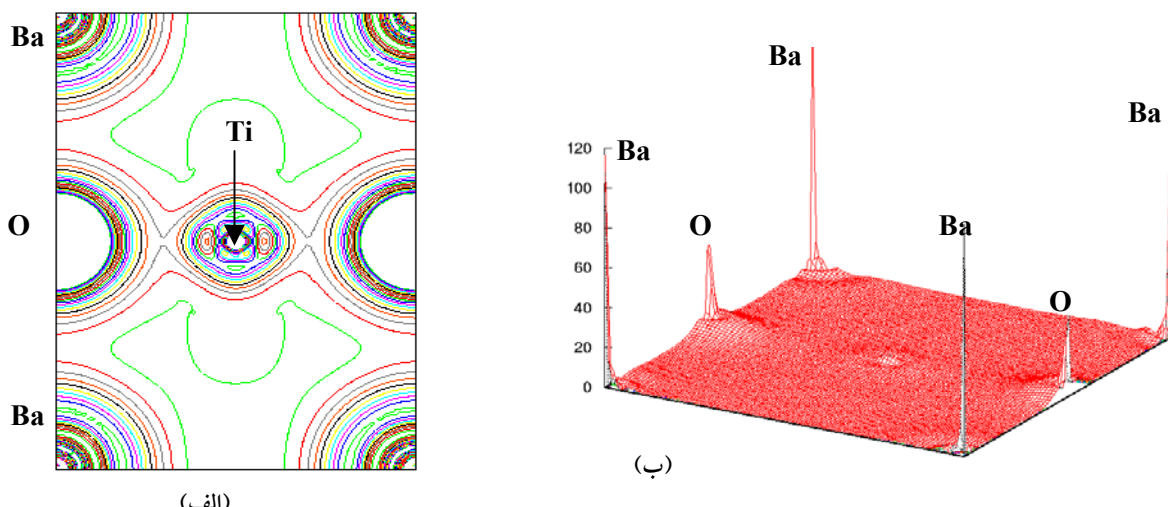
شکل ۳. چگالی حالتها کل (DOS) برای BaTiO_3 مکعبی پارالکتریک.



شکل ۴. چگالی حالتها جزئی (PDOS) نمایش مشارکت اتمهای Ti, Ba و O. یک اتم Ti و سه اتم O از یک سلول واحد مکعبی تینات باریم در محاسبات گنجانده شده است.



شکل ۵. چگالی ابر الکترونی برای BaTiO_3 ، (الف) در صفحه (۱۰۰) (ب) در سه بعد.



شکل ۶. چگالی ابر الکترونی برای BaTiO_3 ، (الف) در صفحه (۱۱۰)، (ب) در سه بعد.

شده (FP-LAPW) مورد مطالعه قرار گرفته است. محاسبات نشان می‌دهد که گاف اساسی BaTiO_3 مستقیماً در نقطه Γ است. محاسبات فوق مقدار گاف اساسی را $1/8\text{eV}$ نشان می‌دهد که کوچکتر از مقدار $2/8-3\text{ eV}$ است که به صورت تجربی گزارش شده است. احتمالاً این به دلیل استفاده از تقریب (GGA) است. چگالی حالت‌های کل به دست آمده از محاسبات فوق قابل مقایسه با نتایج تجربی است.

در فاز مکعبی در صفحه (۱۱۰) نشان می‌دهد. توزیع بار اطراف اتم باریم پیش بینی می‌کند که پیوند بین Ba و TiO_3 عمده‌یونی است. علاوه بر این کوچکتر بودن فاصله اتمی بین اتم تیتانیم و اکسیژن در مقایسه با باریم و اکسیژن بیانگر این است که پیوند بین تیتانیم و اکسیژن ماهیت کووالانسی دارد.

۴. نتیجه‌گیری

جزئیات ساختار الکترونی و چگالی حالت‌های تیتانات باریم در فاز مکعبی با استفاده از روش پتانسیل کامل امواج تخت تقویت

مراجع

2. D Bagayoko, G L Zhao, J D Fan and J T Wang, *Proc. Louisiana Acad. Sci.*, **60** (1997) 43-46.
1. D Bagayoko, G L Zhao, J D Fan and J T Wang *J. Phys. Condens. Matter.* **10** (1998) 5645-5655.

12. S H Wei and H Krakauer, *Phys. Rev. Lett.* **55** (1985) 1200-1203.
13. F M Michel-Calendini and G Mesnard *J. Phys. C Solid State Phys.* **6** (1973) 1709-1722.
14. M Kitamura and H Chen, *Ferroelectrics*, **210** (1998) 13-29.
15. M Kitamura and H Chen, *Ferroelectrics*, **206-207** (1998) 55-67.
16. P H Ghosez, X Gonze, and J P Michenaud, *Ferroelectrics* **153** (1994) 91-96.
17. K Schwarz, P Blaha, G K H Madsen, *Computer Physics Communications*, (2002) 1-6.
18. P Blaha, K Schwarz, WIEN2K, Vienna University of Technology, Austria (2002).
19. S H Wemple, *Phys. Rev. B* **2** (1970) 2679.
20. R D King-Smith and D Vanderbilt, *Phys. Rev. B* **49** (1994) 5828.
3. R E Cohen and H Krakauer, *Phys. Rev. B* **42** (1990) 6416-6423.
4. R E Cohen and H Krakauer, *Ferroelectrics*, **136** (1992) 65-83.
5. A J Moulson and J M Herbert "Electroceramics" Chappman and Hall (1990).
6. M Gardona, *Phys. Rev. A* **140** (1965) 651.
7. R T Mara, G B B Sutherland and H V Tyrell, *Phys. Rev.* **96** (1954) 801.
8. W D Kingery, H K Bowen and D R Uhlmann, "An Introduction to Ceramics" John Wiley & Sons. Inc. (1975).
9. S Saha, T P Sinha and A Mookerjee, *Phys. Rev. B* **62** (2000) 8828-8834.
10. J P Perdew, J A Chevary et al, *Phys. Rev. B* **46** (1992) 6671-6687.
11. J P Perdew, *Physical B* **172** (1991) 1-6.